

22. Сиротинин Н. Н., Янковский В. Д. Восстановление высшей первичной деятельности у щенков, оживленных после 10-минутной клинической смерти, вызванной обескровливанием.— В кн.: Физиология первых процессов. Киев : Изд-во АН УССР, 1955, с. 123—130.
23. Сиротинин М. М., Янковский В. Д., Геря Ю. Д. Відновлення життєважливих функцій організму при клінічній смерті, викликаній гострою аноксією.— Фізiol. журн., 1966, 12, № 5, с. 565—569.
24. Сиротинин Н. Н., Янковский В. Д., Геря Ю. Ф. Опыт применения метода искусственного кровообращения и танкового метода для реанимации собак после клинической смерти от острой декомпрессии.— Косм. исследование на Украине. 1973, вып. 4, с. 3—8.
25. Соколянский І. Ф., Геря Ю. Ф., Заплаткина А. І., Янковский В. Д. Деякі показники функціонального стану організму при утопленні і під час реанімації.— Фізiol. журн., 1970, 16, № 3, с. 326—329.
26. Степанковская Г. К., Венцковский Б. М., Лявинець А. С. Гипоксические состояния в акушерской практике.— Київ : Здоров'я, 1978.—200 с.
27. Торская И. В. Некоторые итоги нейропатологического исследования мозга реанимированных животных.— В кн.: Восстановительный период после оживления: Тр. симпоз. 25—28 нояб. 1968 г. Москва. М. : Б. и., 1970, с. 251—254.
28. Янковский В. Д. Досвід застосування штучного кровообігу для оживлення по-мерлого організму.— Фізiol. журн., 1962, 8, № 3, с. 346—352.
29. Янковский В. Д. Двадцатилетний опыт применения для реанимации в эксперименте искусственного кровообращения.— Патол. физиология и эксперим. терапия, 1968, № 5, с. 6—12.
30. Янковский В. Д. Про сучасний стан проблеми оживлення за допомогою методу штучного кровообігу.— Фізiol. журн., 1969, 15, № 3, с. 316—321.

Ин-т физиологии им. А. А. Богомольца
АН УССР, Киев

Поступила 19.12.83

УДК 612.12—001.36—07:616.127—0.72.7

Л. А. Грабовский, Ю. П. Бидзила, А. А. Петров

ИССЛЕДОВАНИЕ ИЗОВОЛЮМИЧЕСКИХ ИНДЕКСОВ СОКРАТИМОСТИ МИОКАРДА ПРИ НАПРАВЛЕННЫХ ИЗМЕНЕНИЯХ ФУНКЦИИ СЕРДЦА

Одной из наиболее важных и актуальных задач современной кардиологии является количественная оценка сократимости миокарда. При этом возникает целый ряд сложностей, обусловленных многообразием механизмов, определяющих состояние сократительного аппарата сердца [1, 12], и многообразием параметров, характеризующих деятельность сердца.

К настоящему времени накоплено много аргументированных сведений о наличии выраженного инотропного эффекта при изменении исходной длины миокардиальных волокон, обусловленного изменением процессов электромеханического сопряжения [11, 13]. Однако отсутствие возможности теоретического разделения двух фундаментальных регуляторов сократительной функции миокарда (механизма Франка—Старлинга и инотропного механизма регуляции сократительной функции сердца) не снимает необходимости поиска возможностей практической дифференцировки результатов их функционирования, а следовательно, и поиска достаточно чувствительных индексов сократимости, относительно независимых от гемодинамических условий работы сердца. Предпосылки эффективности такого поиска, созданные работами Зонненблока [1, 22, 23], сводятся к доказательству возможности распространения на сердечную мышцу закономерностей, установленных Хиллом [10] при изучении механики сокращения изолированной скелетной мышцы и, в частности, независимости скорости укорочения сократительного элемента мышцы при нулевой нагрузке от ее исходной длины (показатель V_{max}). Этот показатель получают посредством экстраполяции кривой зависимости скорости укорочения мышцы от нагрузки на ось скорости.

Физiol. журн., 1984, т. 30, № 4

Для интактного сердца укорочения сократительной способности получить практическое деление скорости укорочки сердце. Поэтому в первоначальном измерении скорость нарастания соответствующему ему по фазу изометрического сокращения.

где K и C — постоянные коэффициенты, R — радиус кривизны вибрации.

Вследствие того, что $K \cdot R$, этим отношению с $K \cdot R$, это выражение приобретает вид:

Показателем сократительной способности является V_{max} пересечения линии, экстремумом которых является R . Несмотря на сложность экстраполяции, это ограничивает его практическое применение. В связи с этим сократительной способностью лишь отдельные ткань.

При использовании этого давления (IP) в практике выбирают точки, соотношение которых 20; 40 мм рт. ст. точек отсчета и отсутствие расчета этого показателя. Использование для расчета давления дает возможность

V_{max} , соответствующую IP [17]. Этот показатель является т. к. максимум отношения P'_{max} к IP , т. е. он всеяния сердца, однако, поенным наблюдениям, резкими изменениями изменяющаяся в зависимости на величину показателя автоматизации расчета. Практике показатели давления. В основном менные характеристики Верагута [16], представляющие производной давления виваемого давления (IT), где IT — площадь под кривой давления от зеркала R до момента максимального давления P'_{max} . При реакции пользовался также интегрированием изучение информативности миокарда и из

Физiol. журн., 1984, т. 30,

тельности
ной обеспе-
чии УССР,
важливых
— Физiol.
тода ис-
бак после
Украине.
які показа-
ції.— Фі-
состояння
зга реани-
лення: Тр.
лення по-
в экспери-
терапія,
ю методу
та 19.12.83

Для интактного сердца аналогичную зависимость между скоростью укорочения сократительного элемента мышцы (V_{CE}) и нагрузкой получить практически невозможно из-за отсутствия методов определения скорости укорочения сократительных элементов в интактном сердце. Поэтому в первом приближении в качестве V_{CE} принимают отношение скорости нарастания внутрижелудочкового давления (P') к соответствующему ему по времени значению внутривентрикульного давления в фазу изометрического сокращения сердца [18, 19, 24], $V_{CE} = \frac{P'}{K \cdot P + \frac{C}{R}}$,

где K и C — постоянные, отражающие эластические свойства мышцы; R — радиус кривизны внутренней поверхности полости сердца.

Вследствие того, что отношение C/R несопоставимо мало по сравнению с $K \cdot P$, этим отношением пренебрегают. Тогда после упрощения выражение приобретает вид $V_{CE} = \frac{P'}{K \cdot P}$. Знаменателем этого отношения может быть развивающееся (IP) или абсолютное (TP) внутрижелудочковое давление в зависимости от модели мышечного волокна, используемой при выводе этого уравнения.

Показателем сократимости миокарда при этом является показатель, аналогичный V_{max} , который определяют как ординату точки пересечения линии, экстраполирующую зависимость $V_{CE} = f(P)$ с осью ординат. Несмотря на теоретическую значимость этого показателя, сложность экстраполяции кривой V_{CE} на ось ординат [21] существенно ограничивает его применение в экспериментальной и клинической практике. В связи с этим были предложены индексы, представляющие собой лишь отдельные точки на кривой V_{CE} .

При использовании для расчетов развивающегося внутрижелудочкового давления (IP) в качестве показателя на кривой V_{CE} произвольно выбирают точки, соответствующие численным значениям IP , равным 20; 40 мм рт. ст. (26,6; 53,2 гПа) [9, 14]. Произвольный выбор точек отсчета и отсутствие возможности автоматизировать процесс расчета этого показателя уменьшают его практическую значимость. Использование для расчетов абсолютного внутрижелудочкового давления дает возможность получить вполне определенную точку на кривой V_{CE} , соответствующую максимальному значению отношения $\left(\frac{P'}{TP}\right)$ [16, 17]. Этот показатель имеет существенные положительные качества, т. к. максимум отношения $\frac{P'}{TP}$ (или V_{pm}) всегда наступает раньше, чем P'_{max} , т. е. он всегда находится в фазе изометрического сокращения сердца, однако, по данным литературы [15, 20] и нашим собственным наблюдениям, он не может быть использован при реакциях с резкими изменениями уровня конечно-диастолического давления, т. к. изменяющаяся в знаменателе величина КДД может существенно влиять на величину показателя. Поэтому для анализа информативности и автоматизации расчетов нами были выбраны широко используемые в практике показатели сократимости миокарда с учетом развивающегося давления. В основном были использованы индексы, учитывающие временные характеристики изоволюмической фазы систолы. Это индекс Верагута [16], представляющий собой значение отношения максимума производной давления к соответствующему по времени значению развивающегося давления (P'_{max}/IP), индекс Зонненблока P'_{max}/IT [22], где IT — площадь под кривой внутрижелудочкового давления в интервале от зубца R ЭКГ до максимума производной давления и временной показатель Δt , определяемый от зубца R ЭКГ до наступления P'_{max} . При реакциях с незначительными изменениями КДД использовался также индекс V_{pm} . Задачей настоящего исследования явилось изучение информативности этих изометрических индексов сократимости миокарда и их пригодности для практического применения.

Методика. Эксперименты проведены на 44 беспородных собаках массой 13–18 кг под морфийно (2,5 мг/кг)-хлоралозин (80 мг/кг)-уретановым (300 мг/кг) наркозом. У животных препаративали сосуды шеи — сонные и плечевую артерии, яремные вены. Затем, не нарушая целостности грудной клетки и естественного дыхания, через сонную артерию ретроградно в желудочек сердца вводили внутриполостной датчик [6] или пластиковый катетер, используемые для регистрации внутрижелудочкового давления. Через вторую сонную артерию в дугу аорты вводили катетер с латексовым баллоном, раздувание которого приводило к повышению сопротивления выбросу крови (постнагрузке). Для изменения нагрузки сердца объемом (преднагрузки) яремную вену соединяли широким пластиковым катетером со специальным сосудом, позволяющим с разной скоростью осуществлять струйное переливание терmostатированных при 38°C кровезаменителя «Полиглюкин» или цельной крови. Для фармакологической блокады животным внутривенно вводили индерал (1 мг/кг) и атропин (0,1 мг/кг). Кроме того в некоторых опытах производили перерезку шейных вагосимпатических стволов. Десимпатизацию сердца проводили за 2–3 нед до острого эксперимента по методике, описанной ранее. Внутрижелудочковое давление, определяемое электроманометром, подавали на вход электронного дифференциатора. Проводили одновременно регистрацию кривых внутрижелудочкового давления и его первой производной на четырехканальном струйном самописце «Минграф-34». Калибровку осуществляли по методу, описанному ранее [5].

Использованная регистрирующая система имела постоянную частотную характеристику до 55 Гц. Высокочастотные составляющие выходного сигнала подавляли фильтрами третьего порядка. При использовании внутримолостного датчика давления частотная характеристика системы расширялась до 700 Гц. В качестве показателей сократимости миокарда рассчитывали индексы: P'_{\max}/IT , P'_{\max}/IP , P'_{\max}/TP , $(P'/TP)_{\max}$ или $V_{\text{ум}}$ и показатель времени наступления $P'_{\max}\Delta t$. Индекс Зонненблника использовался в нашей модификации, суть которой заключается в том, что для расчета индекса вместо предложенной Зонненблником площади под кривой давления в пределах полутора интервала от зубца R ЭКГ до P'_{\max} , нами использовалась площадь в пределах одного интервала. Такая модификация приводит к тому, что расчет показателя ограничен строго изометрической фазой систолы, и индекс становится менее зависимым от постнагрузки, что особенно важно в условиях резкого снижения САД.

Показатели сократимости миокарда определяли по кривым внутрижелудочкового давления и его производной. Обработка кривых осуществлялась вручную, на ЭЦВМ М-4030 и, кроме того, в ходе эксперимента производили автоматический расчет показателей сократимости миокарда с помощью специализированного вычислительного устройства «Индекс» [7]. Это устройство позволяет поударно, в динамике срочных реакций сердца рассчитывать индексы сократимости миокарда, выдавая информацию об их изменениях в аналоговой форме в реальном масштабе времени.

Кроме показателей сократимости миокарда, левожелудочкового давления и его первой производной в различных вариантах экспериментов проводили одновременную регистрацию системного артериального давления (САД), частоты сердечных сокращений (ЧСС), ЭКГ, конечно-диастолического давления (КДД), минутного (МОК) и ударного (УОК) объемов крови.

Для определения информативности расчетных показателей сократимости миокарда в специальной серии опытов проводили сравнительный анализ данных, рассчитанных по внутрижелудочковому давлению и данных, полученных при непосредственной регистрации систолического напряжения с помощью нашитых на сердце датчиков типа Броди—Вальтона [2]. Датчики фиксировали на сердце посредством глубокого прошивания миокарда. После предварительной операции нашивания датчиков на сердце грудную клетку закрывали и животное переводили на естественное дыхание. Затем проводили одновременную регистрацию показателей, рассчитываемых по внутрижелудочковому давлению и систолическому напряжению в отдельном участке миокарда. Систолическое напряжение регистрировали в изометрическом режиме и калибровали в граммах. Кривую систолического напряжения дифференцировали, определяя скорость развития напряжения.

Результаты и их обсуждение. В опытах, проведенных на наркотизированных животных, было показано, что увеличение притока крови

к сердцу, вызванное били цельной крови, с уровня КДД (от $4,9 \pm 6,5 \pm 1,4$ до $21,4 \pm 1,2$ г давления в полости листически значимым из зателей сократимости наблюдалась явная тенденция к снижению.

Рис. 1. Зависимость измельчного выброса (штрихов) и показателя сокращения миокарда (сплошные линии) от уровня КДД у разных собак (а), у животных макологической блокадой (б) и у животных с хронической десимпатизацией сердца.

18 из 41 наблюдения
 $\pm 14\%$ от исходного у
 индекса P'_{\max}/IP в сре-
 днем отличался индекс P'_{\min}

Можно предположить положительный ионотропный компонент так как он устраняется

Как показали прельные изменения объема крови возраста (рис. 1). Исходя из притока крови к сердечным образом за счет в значительно меньшемизмов усиления сокращения могут свидетельствоваться фармакологически адренорецепторов и что в этих условиях кардио-диастолического дыхания объемов крови иных животных достичь удалось. В эксперименте увеличение притока КДД от $9,1 \pm 1,3$ до 2 сопровождалось хотя бы, однако существенное повышение уровня К вызвало достоверных (рис. 1, табл. 1). Такой механизм Франка — Сильный объем крови у компонента реакции. Для сокращения сердца сократимости миокарда хронической десимпактическим влияниям резко другой уровень гуманного притока крови к сердцу. Механизма Франка — Сильного

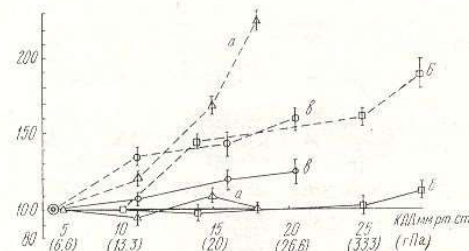
й 13—
т) нар-
ирем-
хания,
постной
ижелу-
тер с
ивления
реднаг-
альным
не тер-
и. Для
/кг) и
нейших
остро-
предел-
. Про-
то пер-
Калиб-

харак-
вляли
вления
ателей
к/TP,
блика
я рас-
ния в
, пло-
расчет
я ме-
сни-
ючко-
вруч-
мати-
ного
в ди-
, вы-
шта-
и его
емен-
чных
тного
мио-
рас-
едст-
дат-
ту-
ичи-
ное
ых
аст-
име-
али,
ти-
ови

№ 4

к сердцу, вызванное быстрым переливанием 350—400 мл полиглюкина или цельной крови, сопровождающееся существенным повышением уровня КДД (от $4,9 \pm 1,1$ мм рт. ст. до $16,1 \pm 0,88$ мм рт. ст., или от $6,5 \pm 1,4$ до $21,4 \pm 1,2$ гПа) и некоторым повышением систолического давления в полости левого желудочка сердца, не приводило к статистически значимым изменениям автоматически рассчитываемых показателей сократимости миокарда. Вместе с тем в ряде случаев все же наблюдалась явная тенденция к изменению этих показателей. Так, в

Рис. 1. Зависимость изменения сердечного выброса (штриховые линии) и показателя сократимости миокарда (сплошные линии) от повышения уровня КДД у контрольных собак (а), у животных с фармакологической блокадой сердца (б) и у животных с хронической десимпатизацией сердца (в).



18 из 41 наблюдения значения P'_{\max} увеличивалось в среднем на $24 \pm 14\%$ от исходного уровня, в 18 из 52 случаев отмечалось увеличение индекса P'_{\max}/IP в среднем на $13,3 \pm 3\%$ и в 17 из 41 наблюдения увеличивался индекс P'_{\max}/PIT в среднем на $20 \pm 7\%$ от исходного уровня.

Можно предположить, что наблюдаемый в этих экспериментах положительный инотропный эффект связан с участием симпато-адреналового компонента в реакции сердца на увеличение притока крови, так как он устраняется введением бета-адреноблокаторов.

Как показали проведенные исследования, несмотря на незначительные изменения показателей сократимости миокарда, ударный объем крови возрастает по мере увеличения притока крови к сердцу (рис. 1). Исходя из этого можно предположить, что при увеличении притока крови к сердцу минутный объем крови увеличивается главным образом за счет реализации механизмов Франка — Старлинга и в значительно меньшей степени, за счет включения инотропных механизмов усиления сократимости миокарда. В пользу такого предположения могут свидетельствовать эксперименты, проведенные в условиях фармакологической денервации сердца, вызванной блокадой бета-адренорецепторов индералом и введением атропина. Следует заметить, что в этих условиях существенно повышается исходный уровень конечно-диастолического давления и вместе с тем переливание дополнительных объемов крови приводит к повышению уровня КДД. У нормальных животных достичь таких высоких значений КДД нам не удавалось. В экспериментах с фармакологической блокадой дозированное увеличение притока крови к сердцу, приводящее к повышению уровня КДД от $9,1 \pm 1,3$ до $29 \pm 2,7$ мм рт. ст. (или $12,1 \pm 1,7$ до $38,6 \pm 3,7$ гПа), сопровождалось хотя и менее выраженным, чем у нормальных животных, однако существенным увеличением ударного выброса. При этом повышение уровня КДД в пределах до 25 мм рт. ст. (33 гПа) не вызывало достоверных изменений показателей сократимости миокарда (рис. 1, табл. 1). Таким образом, и в этих условиях эксперимента механизм Франка — Старлинга работает достаточно эффективно, ударный объем крови увеличивается без участия симпато-адреналового компонента реакции. Поскольку в этих условиях скоростные параметры сокращения сердечной мышцы очевидно не изменяются, индексы сократимости миокарда остаются на постоянном уровне. В условиях хронической десимпатизации чувствительность сердца к адренергическим влияниям резко увеличивается и, очевидно, сердце переходит на другой уровень гуморальной регуляции. В этих условиях увеличение притока крови к сердцу вызывает включение в реакцию не только механизма Франка — Старлинга, но и адренергических механизмов, и

Таблица 1. Изменение показателей кардиодинамики и сократительной функции миокарда при нагрузках сердца объемом и сопротивлением у животных с выключенным нервно-рефлекторными влияниями на сердце

Показатели кардиодинамики	Статистический показатель	Нагрузка объемом			Нагрузка сопротивлением		
		Реакция		Исходные значения	Абсолютные значения	Проценты	Исходные значения
		Исходные значения	Абсолютные значения				
КДД мм рт. ст. гПа	$M \pm m$ $M \pm m$ (n), p	9,1 ± 1,3 12,1 ± 1,7 (24)	29,3 ± 2,7 38,9 ± 3,6 $<0,001$	8,6 ± 1,8 11,4 ± 2,4 (15)	20,0 ± 3,8 26,6 ± 5,0 $<0,01$		
P мм рт. ст. гПа	$M \pm m$ $M \pm m$ (n), p	126 ± 6 167,6 ± 7,9 (26)	145 ± 6 192,8 ± 7,9 $<0,05$	117 ± 4 166,2 ± 9,3 (15)	171 ± 8 227,4 ± 10,6 $<0,001$	139 ± 6	
P'_{\max} мм рт. ст./с (n), p	$M \pm m$ (20)	2562 ± 214	2757 ± 255 $>0,5$	108 ± 5 2722 ± 199 (15)	3370 ± 349 $>0,2$	123 ± 9	
$\frac{P'_{\max}}{IP} c^{-1}$	$M \pm m$ (n), p	41,3 ± 1,5 (26)	42,2 ± 1,6 $>0,5$	103 ± 3 45,5 ± 1,1 (15)	46,3 ± 1,9 $>0,5$	102 ± 4	
$\frac{P'_{\max}}{IT} c^{-2}$	$M \pm m$ IT (n), p	2849 ± 178 (24)	2854 ± 201 $>0,5$	100 ± 3 3342 ± 270 (15)	3381 ± 311 $>0,5$	100 ± 7	
ЧСС уд/мин	$M \pm m$ (n), p	180 ± 5 (17)	177 ± 5 $>0,5$	99 ± 1 190 ± 4 (11)	190 ± 4 $>0,5$	100 ± 1	
САД мм рт. ст. гПа	$M \pm m$ $M \pm m$ (n), p	147 ± 6 195,5 ± 7,9 (14)	164 ± 6 218,1 ± 7,9 $<0,05$	113 ± 4 117 ± 10 155,6 ± 13,3 (8)	160 ± 13 212,8 ± 17,3 $<0,02$	145 ± 17	

увеличение ударного выброса является результатом комбинированной реакции. По мере увеличения притока крови к сердцу в этих экспериментах наблюдается увеличение ударного объема крови и увеличение показателей сократимости миокарда (рис. 1).

При изучении нагрузок сердца сопротивлением в условиях фармакологической блокады мы также не наблюдали существенных изменений индексов сократимости миокарда (табл. 1). При переходе от более высоких значений уровня КДД и сопротивления выбросу крови в аорту к более низким, вызванным умеренным кровопусканием (рис. 2) в экспериментах на нормальных наркотизированных животных, мы наблюдали увеличение индексов сократимости миокарда. При этом ударный выброс сердца уменьшается до и даже ниже исходных значений. Можно предположить, что в этих условиях возникают разнонаправленные эффекты, появляющиеся в результате включения в регуляцию сердечной деятельности одновременно двух фундаментальных механизмов регуляции сердечной деятельности. Уменьшение конечно-диастолического растяжения сердца по механизму Франка — Старлинга приводит к значительному уменьшению сердечного выброса, в то же время включение инотропного механизма приводит к усилению сократимости миокарда, о чем может свидетельствовать увеличение автоматически рассчитываемых индексов сократимости миокарда. В пользу адренергической природы усиления сократимости миокарда может свидетельствовать тот факт, что после фармакологической блокады эффект увеличения индексов сократимости устраняется и сократимость миокарда снижается ниже исходного уровня.

Аналогичные взаимоотношения между изменениями ударного объема и сократительной функции миокарда были получены в нашей лаборатории [4] в условиях тампонады сердца. И в этих условиях при моделировании ограничения исходной длины миокардиальных волокон ударный объем крови уменьшался и одновременно с этим наблюдалось усиление сократимости миокарда, устранимое бета-адренергической блокадой. В нормальных условиях при изменении размеров

сердца могут возникать члены механизма Франка — Старлинга. Эти реакции могут быть направленными, как это ограничения диастолическими параметрами скоростных параметров

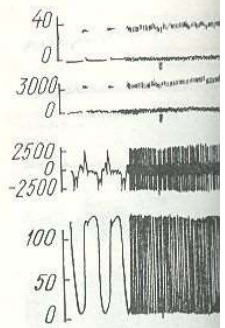


Рис. 2. Эффект увеличения сопротивления сердцу. Сверху вниз: индексы сократимости миокарда при увеличении сопротивления сердцу.

стрирован с помощью интеграторов, детекторов, блокаторов, устраивающих генетическую природу, а также с хронической десензитивацией. Прямая зависимость между сократимостью миокарда и методом автоматической диагностики является достаточно информативной и клинической. Несмотря на различные уровни КДД, интерес представляют оценки сократимости миокарда при направлении.

Положительные изменения, связанные с внутривенным введением кальция.

Было показано, что сократимость миокарда сопровождается изменениями сократимости миокарда. При этом сократимость миокарда на 33 % от исходного, соответственно на 36, 51 и 41 % показателей кардиодинамических стимуляторов.

Следует отметить, что сократимость миокарда, наряду с увеличением сократимости миокарда, связана с существенными гемодинамическими изменениями притока и оттока крови из миокарда. Существенно затруднено при изучении влияния на сократимость миокарда, поскольку сократимость миокарда определяется сократимостью миокарда в одну из ветвей левой коронарной артерии.

Как показали наши исследования, коронарное введение

Физиол. журн., 1984, т. 30, № 4

сердца могут возникать реакции, регулируемые как посредством включения механизма Франка — Старлинга, так и адренергического механизма. Эти реакции могут быть как односторонними, так и разнополарными, как это имеет место при умеренных кровопотерях и ограничении диастолического расслабления в условиях тампонады сердца. Адренергический компонент реакции, протекающей с изменением скоростных параметров сокращения сердца, может быть зареги-

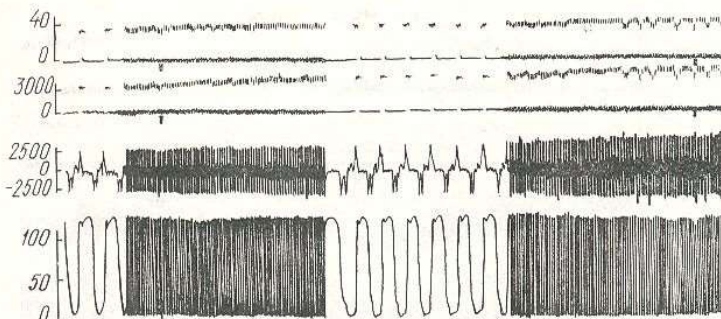


Рис. 2. Эффект увеличения показателей сократимости миокарда при умеренной кровопотере.

Сверху вниз: индексы сократимости миокарда $\frac{P'_{\max}}{IP}$ (с-1), $\frac{P'_{\max}}{IT}$ (с-2), P' (мм рт. ст./с) и внутривентрикульное левожелудочковое давление, в мм рт. ст. (гПа).

стрирован с помощью индексов сократимости миокарда. Об этом свидетельствуют работы, выполненные с применением фармакологических блокаторов, устраняющих эффект увеличения сократимости адренергической природы, а также результаты опытов, проведенных на животных с хронической десимпатизацией сердца, у которых наблюдается прямая зависимость между величиной нагрузки и показателями сократимости миокарда. На основании этого можно предположить, что метод автоматической регистрации индексов сократимости миокарда является достаточно информативным и может применяться в экспериментальной и клинической практике для количественной оценки изменений сократимости миокарда, по меньшей мере, при реакциях, в которых уровень КДД изменяется в физиологических пределах. Существенный интерес представляло исследовать изменения сократимости миокарда при направленных инотропных влияниях на сердце.

Положительные инотропные эффекты воспроизводили посредством внутривенного введения адреналина, норадреналина или глюконата кальция.

Было показано, что внутривенное введение 0,5—1 мкг/кг адреналина сопровождается выраженным увеличением показателей сократимости миокарда. При этом показатель P'_{\max} увеличивается в среднем на 33 % от исходного, индексы P'_{\max}/IP , P'_{\max}/IT и V_{pm} — соответственно на 36, 51 и 41 % от исходного уровня. Аналогичные изменения показателей кардиодинамики наблюдались при введении других адренергических стимуляторов (табл. 2).

Следует отметить, что внутривенное введение адреномиметиков, наряду с увеличением сократительной функции сердца, вызывало существенные гемодинамические сдвиги, выражавшиеся в изменении условий притока и оттока крови к сердцу. Такие изменения гемодинамики существенно затрудняют анализ получаемых результатов. Поэтому при изучении влияния адренергической стимуляции сердца на изометрические показатели сократимости миокарда мы применили методику, позволяющую селективно вводить раздражитель непосредственно в одну из ветвей левой коронарной артерии [3].

Как показали проведенные исследования, одномоментное внутривенное введение 3—5 мкг адреналина сопровождалось незначи-

тельным рефлекторным снижением уровня САД и некоторым уменьшением систолического давления в полости левого желудочка сердца. При этом, несмотря на снижение параметров гемодинамики, наблюдается четко выраженное усиление сократительной функции миокарда (рис. 3). По средним данным, максимальное значение P'_{\max} в этих экспериментах увеличивалось на $50,5\% \pm 8,5\%$, P'_{\max}/IIT — на $64,0\% \pm 8,6\%$, P'_{\max}/IP — на $32,4\% \pm 4,8\%$, показатель V_{pm} — на $23,0\% \pm$

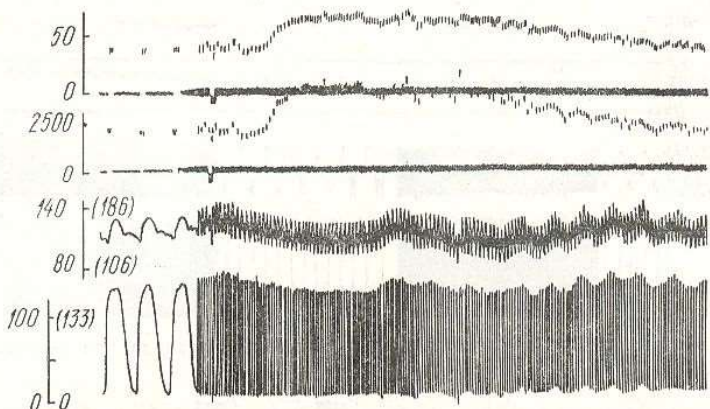


Рис. 3. Изменение кардио- и гемодинамики под влиянием внутрикоронарного введения 5 мкг адреналина.

Сверху вниз: индексы сократимости миокарда $\frac{P'_{\max}}{P_P}$ (с⁻¹), $\frac{P'_{\max}}{IT}$ (с⁻²), САД, в мм рт. ст. (гПа) и внутриполостное левожелудочковое давление, в мм рт. ст. (гПа).

$\pm 10,8\%$, а временной показатель Δt уменьшался на $33,9\% \pm 1,4\%$ от исходного уровня. Резкое увеличение показателей сократимости миокарда мы наблюдали и при внутрекоронарном введении норадреналина и внутривенном введении глюконата кальция (табл. 2).

Таблица 2. Изменение показателей сократительной функции миокарда при стимуляции сердца адреналином, норадреналином и глюкокортикоидами

Показатели кардиодинамики	Статистический показатель	Адреналин						Норадреналин			Глюконат Са		
		Внутривенно			Вътриткоронарио			Внутривенно			Внутривенно		
		Исход.	Реакция	%	Исход.	Реакция	%	Исход.	Реакция	%	Исход.	Реакция	%
<i>P</i>													
мм рт. ст.	<i>M</i>	132	149	113	136	128	94	123	148	122	141	174	126
	$\pm m$	2,6	4,5		9,2	6,0		13	12		8,5	11	
	<i>M</i>	175,6	198,2		180,9	170,2		163,6	196,8		187,5	231,4	
гПа	$\pm m$	3,5	6,0		12,2	8,0		17,3	15,9		11,3	14,6	
	(n), <i>p</i>	(14)	<0,01		(15)	>0,5		(15)	>0,2		(22)	<0,05	
<i>P'ₘₐₓ</i> ,	<i>M</i>	5020	6690	133	2787	5563	200	6687	11342	166	3180	5228	179
мм рт. ст./с	$\pm m$	320	656		1038	326		556	1944		404	407	
	(n), <i>p</i>	(12)	<0,05		(17)	<0,05		(14)	<0,05		(18)	<0,01	
<i>P'ₘₐₓ/IP</i> ,	<i>M</i>	64,1	87,6	136	44,2	69,0	132	62,4	88,7	143	46,7	63,1	142
	c^{-1}	3,5	6,5		1,1	3,9		5,3	7,1		3,4	4,2	
	(n), <i>p</i>	(14)	<0,01		(17)	<0,05		(15)	<0,05		(22)	<0,01	
<i>P'ₘₐₓ/IIT</i> ,	<i>M</i>	4534	6901	151	2283	4405	164	4449	7356	167	2920	4232	154
	c^{-2}	323	655		130	161		508	893		303	402	
	(n), <i>p</i>	(13)	<0,01		(15)	<0,01		(15)	<0,05		(22)	<0,02	
<i>V_{ppm}, c⁻¹</i>	<i>M</i>	92,9	137	141	118	145	123				55,1	75	135
	$\pm m$	32,9	59		21	19					3,0	7,6	
	(n), <i>p</i>	(13)	>0,05		(8)	>0,05					(14)	<0,05	

симо от изменений пара
автоматическом определ

Направленное осла производили внутривен- при инфарктоподобных рикоронарном введении (АКС). Как показали

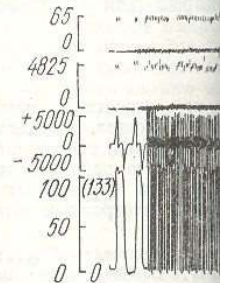


Рис. 4. Влияние внутривенного кра

рала систолическое давление. Вместе с тем, сократимости миокарда и показателей сократческим повреждениям связывало фазные изменения индексы P'_{\max}/IP и P' : $78,6\% \pm 4,3\%$ и $83,1\%$. Тем наступала вторая фаза становления показателей, достигали исходного уровня.

Таким образом, ис-
ных, можно полагать,
да, особенно при их а-
ровать изменения сокр-
тельных и отрицатель-
в условиях выключения
ничивающих возможно-
ца объемом и сопротив-
ности мало зависят от
притока и оттока кров-
ными данными других

ными данными других. С целью проверки тимости миокарда были торых расчетные индекс с прямым измерением да левого желудочка с зометрических датчиков и отрицательных ионот при этих воздействиях изменяются значительно: систолическое напряжение мечена высокая корреляция скорости нарастания напряжения миокарда и изменениями ления (dP/dt)_{max} (рис. аграммы, расчетные индексы показывают изменения скорости действия на сердце.

мень-
рдца.
люда-
карда
их эк-
0 % ±
0 % ±

симо от изменений параметров гемодинамики, что отчетливо видно при автоматическом определении показателей сократимости.

Направленное ослабление сократительной функции миокарда воспроизводили внутривенным введением животному 1 мг/кг индерала и при инфарктоподобных повреждениях сердца, возникающих при внутристикоронарном введении антикардиальной цитотоксической сыворотки (АКС). Как показали проведенные исследования, при введении инде-

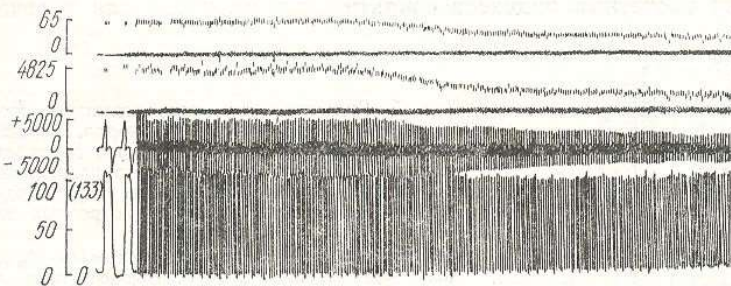


Рис. 4. Влияние внутривенного введения 1 мг/кг индерала на кардиодинамику и сократительную функцию миокарда.

Обозначения см. рис. 2.

рала систолическое давление левого желудочка изменялось незначительно. Вместе с тем, P'_{\max} и автоматически рассчитываемые индексы сократимости миокарда резко уменьшались (рис. 4). Четкое уменьшение показателей сократимости миокарда наблюдается и при цитотоксическом повреждении сердца. Так, внутрикоронарное введение АКС вызывало фазовые изменения сократительной функции сердца. К 3—5 мин индексы P'_{\max}/IP и P'_{\max}/IIT уменьшились, достигая соответственно $78,6 \% \pm 4,3 \%$ и $83,1 \% \pm 3,7 \% (p < 0,05)$ от исходного уровня. Затем наступала вторая фаза реакции, выражавшаяся в постепенном восстановлении показателей сократимости миокарда, которые однако не достигали исходного уровня и к 60—90 мин после введения АКС.

Таким образом, исходя из приведенных экспериментальных данных, можно полагать, что расчетные показатели сократимости миокарда, особенно при их автоматическом расчете, позволяют зарегистрировать изменения сократимости миокарда, возникающие при положительных и отрицательных инотропных влияниях на сердце. При этом, в условиях выключения нервно-рефлекторных влияний на сердце, ограничивающих возможность проявления сопутствующих нагрузкам сердца объемом и сопротивлением инотропных влияний, индексы сократимости мало зависят от изменений параметров гемодинамики на путях притока и оттока крови к сердцу. Это согласуется с экспериментальными данными других авторов [8].

С целью проверки информативности расчетных показателей сократимости миокарда были выполнены специальные исследования, в которых расчетные индексы сократимости регистрировали одновременно с прямым измерением изометрического напряжения в участке миокарда левого желудочка сердца, с помощью сконструированных нами тензометрических датчиков типа Броди — Вальтона, при положительных и отрицательных инотропных воздействиях на сердце. Показано, что при этих воздействиях скоростные параметры давления и напряжения изменяются значительно больше, чем внутрижелудочковое давление и систолическое напряжение стенки левого желудочка сердца. Была отмечена высокая корреляционная связь ($r = 0,87$) между изменениями скорости нарастания напряжения $(dF/dt)_{\max}$ в отдельном участке миокарда и изменениями скорости нарастания внутрижелудочкового давления $(dP/dt)_{\max}$ (рис. 5). Как видно из представленной на рисунке диаграммы, расчетные индексы сократимости P'_{\max}/IIT и P'_{\max}/IP отражают изменения скорости развития силы, возникающие при этих воздействиях на сердце.

74 126
1
1,4
.6
.05
28 179
07
.01
.1 142
.2
.01
32 154
02
.02
5 135
.6
.05

30, № 4

Таким образом, сопоставительный анализ данных об изменении сократимости миокарда, полученных с помощью расчетных индексов, с показателями непосредственной регистрации систолического напряжения сердечной мышцы и скорости его развития также свидетельствует в пользу информативности расчетных показателей сократимости миокарда, определяемых по параметрам внутрижелудочкового давления и скорости его нарастания. Вместе с тем при практическом использовании расчетных индексов сократимости миокарда для количествен-

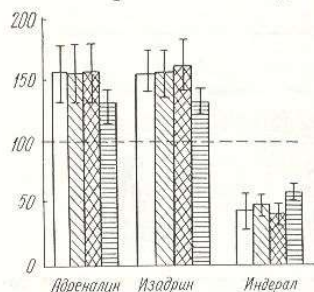


Рис. 5. Сравнительная характеристика изменений показателей сократимости миокарда, определяемых из внутрижелудочкового давления с изменениями скорости развития систолического напряжения стенки миокарда левого желудочка сердца при положительных и отрицательных инотропных влияниях на сердце.

Белые столбики — F'_{\max} , косая штриховка — P'_{\max} ; штриховка крестиками — P'_{\max}/IP , горизонтальная штриховка — P'_{\max}/P .

ной оценки сократимости интактного сердца следует иметь в виду, что эти показатели не позволяют определить уровень сократимости сердечной мышцы или ее видовые особенности. С помощью индексов сократимости миокарда, применяя физические или фармакологические нагрузки, можно оценивать возможности сердца усиливать свои сокращения, т. е. с помощью этих показателей можно подойти к определению резервов сократимости данного сердца. С их помощью так же представляется возможным оценивать эффективность влияния различных фармакологических средств на сократительную функцию сердца. Использование же методов автоматизированной оценки сократимости миокарда, позволяющих поударно, от сокращения к сокращению регистрировать динамику изменений показателей сократимости миокарда в течение срочных реакций сердца, позволит патогенетически обоснованно выбирать и оперативно оценивать эффективность действия лекарственных средств при лечении больных с сердечно-сосудистыми заболеваниями.

L. A. Grabovsky, Yu. P. Bidzilya, A. A. Petrov

A STUDY OF VARIATIONS IN ISOVOLUMIC INDICES OF MYOCARDIUM CONTRACTILITY UNDER DIRECTED VARIATIONS OF HEART FUNCTION

Information character of a series of isovolumic indices of myocardium contractility was estimated in experiments on narcotized dogs using the methods of computer aided determination of contractility indices. A high ($r=0.87$) correlation is determined between variation in the rate of systolic pressure development (when it was immediately registered in the left ventricle myocardium area) and variation in rate parameters of intraventricular pressure. Interrelations between two fundamental mechanisms (the Frank-Starling and inotropic mechanisms) under certain heart reactions are studied. The applied method promoted rapid estimation of the remedy efficiency when treating patients with cardiovascular diseases.

A. A. Bogomolets Institute of Physiology,
Academy of Sciences, Ukrainian SSR, Kiev

Список литературы

- Браунвальд Е., Росс Дж., Зонненблек Е. Х. Механизмы сокращения сердца в норме и при недостаточности.—М.: Медицина, 1974.—175 с.
 - Грабовский Л. А. Об изменении реакций коронарных сосудов на нервные и гу-

424

Физиол. журн., 1984, т. 30, № 4

моральные раздражители
биол. наук.—Киев, 1970.—
Грабовский Л. А., Мойбенко коронарных сосудов.—Кауказский С. Г. Кардиогем экспериментальной тампопластики Мойбенко О. О., Голова, порожниках сердца.—Физиология Мойбенко А. А., Голова, гистрограммы давления и его первичной биологии и медицины Синьков М. В., Закидашевская оценка показателей сокращения специализированного выч № 2, с. 101—115.
Cosyns J., Gutierrez-Miratal pressure for heart contractions p. 165—171.
Davidson D. M., Covel J. of left ventricular contraction p. 299—312.
Hill A. V. The heat of s Soc. Biol., 1938, 126, N 1, p. 1.
Jewell B. R. A reexamination of performance.—Circulat. Res., 1958, 6, p. 101.
Katz A. M. Physiology of the heart.—Lakatta E. G., Henderson, 1977, 9, N 5, p. 347—360.
Mahler F., Ross J., O'Rourke load and inotropic state in the conscious dog.—
Mehmel H., Krauenbuehl ning in the canine left ventricle.—
Mirsky I. A critical review N 4, Suppl. 3, p. 147.
Nejad N. S., Klein M., M

- . lizing the maximum val-
- . Parmley W. W., Diamond
cular pressures in myoca-
- . Parmley W. W., Sonnenl
to contractile element v
20, N 2, p. 112-123.
- . Patterson R. E., Kent B.
indices in intact dogs.—C
- . Peterson K. L., Skloven
ejection phase indices of
N 6, p. 1088-1101.
- . Sonnenblick E. H. Force
Physiol., 1962, 202, N 5, p.
- . Sonnenblick E. H., Stan
Rev. Physiol., 1969, 31, N
- . Sonnenblick E. H., Parm
art as expressed by for
n. 488-503.

Ин-т физиологии им. А. А. І
АН УССР, Київ

УДК 612.17:616—089.9

ИЗМЕНЕНИЯ

ЭЛЕКТРОЛИТО ИОКАРДЕ ПРИ Е

В связи с важной сократительной функцией влекают данные о взаимо-
действии и содержания структуры

Физиол. журн., 1984, т. 30, .